

$$L_a = (1 - k^2)L_1 \quad L_b = k^2 L_1 \quad (1-1)$$

$$k = \frac{M}{\sqrt{L_1 \cdot L_r}} \quad a = k \sqrt{\frac{L_1}{L_r}}$$

مقاومت‌های  $r_1$  و  $r_r$  معرف تلفات هسته‌ی ترانس است.

$$Z(j\omega_0) = R_L \Rightarrow \omega_0 = \frac{1}{\sqrt{LC}}$$

$$\alpha = \frac{1}{2R_L C} \Rightarrow \begin{cases} Q = \frac{2\pi \text{ (ماکزیمم انرژی ذخیره شده)}}{\text{انرژی تلف شده در واحد سیکل}} = \frac{\omega_0}{2\alpha} = R_L C \omega_0 = \frac{R_L}{L\omega_0} = \frac{\omega_0}{B.W.} \\ BW = \omega_r - \omega_l = 2\alpha = \frac{1}{R_L C} \end{cases} \quad (3-1)$$

$$R_{t_L} = \frac{L \omega}{r_L} = r_L Q_L \quad (4-1)$$

در این شرایط با یک مدار RLC شناخته شده مواجه خواهیم بود که پارامترهای آن به ترتیب زیر محاسبه می گردند:

$$\omega_o \cong \frac{1}{\sqrt{LC}}, \quad Q = R_{t_L} C \omega_o, \quad BW = \frac{1}{R_{t_L} \cdot C}, \quad |Z(j\omega_o)| = R_{t_L} \quad (5-1)$$

در مورد این مدار هم با فرض بزرگ بودن ضریب کیفیت خازن به سادگی می توان نوشت:

$$Q_C = \frac{1}{C\omega_o r_C} \Rightarrow R_{t_c} = Q_C^2 r_C$$

$$\omega_o = \frac{1}{\sqrt{LC}}, Q_t = \frac{\omega_o}{\text{B.W.}} = R_{t_c} C \omega_o, |Z(j\omega_o)| = R_{t_c} \quad (1-6)$$

$$n Q_T' \cdot Q_E \geq 100$$

(۹-۱)

اما پارامترهای ذکر شده برحسب مقادیر معلوم عبارتند از:

$$n = \frac{C_1}{C_1 + C_2}, \quad \omega_o = \frac{1}{\sqrt{LC}}, \quad Q_E = \frac{\omega_o(C_1 + C_2)}{G}, \quad Q_T' = \frac{\omega_o C}{n^2 G}, \quad C = \frac{C_1 C_2}{C_1 + C_2} \quad (10-1)$$

همچنین برای امپدانس انتقالی  $Z_{12}$  داریم:

$$Z_{12}(p) = \frac{v_o(p)}{I_i(p)} = \frac{v_o(p)}{v_i(p)} \cdot \frac{v_i(p)}{I_i(p)} = \frac{v_o(p)}{v_i(p)} \cdot Z_i(p) = \frac{C_1}{C_1 + C_2} \cdot \frac{p}{p + \frac{G}{C_1 + C_2}} Z_i(p) = H_V(p) Z_i(p) \quad (11-1)$$

$$nQ'_T \cdot Q_E \geq 100, \quad Q_E \geq 10 \quad (12-1)$$

یادآوری این مطلب ضروری است که در فرکانس تشدید، امپدانس دیده شده از ورودی مدار مقسم خازنی شکل ۱۷-۱ کاملاً مقاومتی و برابر با  $\frac{1}{n^2 G}$  است. به همین دلیل چنانچه جریان ورودی  $I_i$  برابر  $I \cos \omega_0 t$  باشد، مدار در فرکانس تشدید تحریک شده و ولتاژ دو سر منبع به سادگی از رابطه  $V_i = \frac{1}{n^2 G} I \cos \omega_0 t$  حاصل می‌گردد.

یک شرط عملی‌تر و کاربردی‌تر به جای شروط رابطه ۱۲-۱، در رابطه‌ی (۱۳-۱) ارائه می‌گردد:

$$Q'_T = \frac{1}{n^2 G} \cdot C \cdot \omega_0 \gg 1, \quad n \ll 1 \quad (13-1)$$

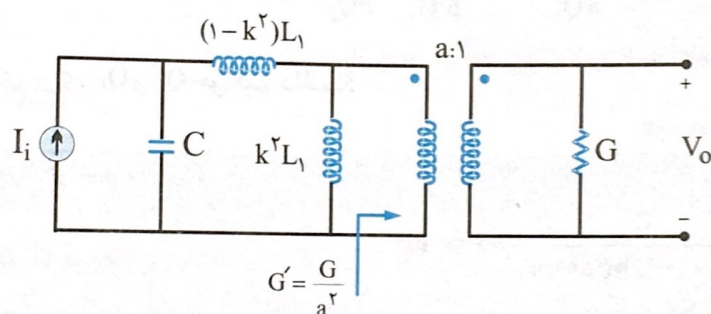
$$L = L_1 + L_2 \quad , \quad \omega_o = \frac{1}{\sqrt{LC}} \quad (14-1)$$

$$n = \frac{L_2}{L_1 + L_2} \quad , \quad Q_E = \frac{L_1 + L_2}{\omega_o G L_1 L_2} \quad , \quad Q'_T = \frac{\omega_o C}{n^2 G}$$

دو شرط مربوط به معادل سازی در این حالت عبارتند از:

$$nQ'_T \cdot Q_E \geq 100 \quad , \quad Q_E \geq 10 \quad (15-1)$$

$$k = \frac{M}{\sqrt{L_1 L_r}} \quad , \quad a = k \sqrt{\frac{L_1}{L_r}} \quad (16-1)$$



شکل ۱-۲۶ ترانس تشدید شده در اولیه با مدل واقعی ترانس

مدار فوق مشابه مدار مقسم سلفی قابل معادل سازی است؛ لذا با فرض  $\omega_o = \frac{1}{\sqrt{L_1 C}}$  و در نظر گرفتن ملاحظات زیر می توان مدار شکل ۱-۲۶ را به فرم مدار شکل ۱-۲۷، تبدیل نمود:

$$n' = \frac{k^2 L_1}{k^2 L_1 + (1-k^2)L_1} = k^2 \quad (17-1)$$

$$Q'_T = \frac{\omega_o C}{n' \left( \frac{G}{a^2} \right)} = \frac{\omega_o C}{\left( \frac{M}{L_1} \right)^2 G} \quad , \quad Q_E = \frac{1}{\omega_o L_r (1-k^2) G}$$

$$n' Q'_T Q_E > 100 \quad , \quad Q_E > 10$$



مدار اخیر یک مدار RLC موازی بوده و تحلیل آن به سادگی میسر می باشد:

$$\omega_o = \frac{1}{\sqrt{LC}} \quad , \quad Q_T = RC\omega_o \quad , \quad BW = \frac{\omega_o}{Q_T} \quad , \quad R = \frac{1}{n^2 G} \quad (18-1)$$



مخلوط کنندہ ما

در عبارت یادشده به شرط  $\frac{y}{\lambda} \leq 0.02$  (که معادل  $v_1 \leq 10.4 \text{ mV}$  است)، می توان  $\frac{I_1(y)}{I_o(y)}$  را با  $\frac{y}{\lambda}$  مساوی فرض کرد و در این حالت هدایت انتقالی به صورت زیر می گردد:

$$y \leq 0.4 \Rightarrow \frac{I_1(y)}{I_o(y)} \cong \frac{y}{\lambda} \Rightarrow g_c = \frac{I_{dc}}{V_T} \cdot \frac{I_1(x)}{I_o(x)} \quad (9-5)$$

بنابراین هدایت انتقالی تبدیلی مخلوط کننده شکل ۵-۸ برابر است با:

$$g_c = \frac{|I_{C_T}| @ \omega_{IF}}{|V_i|} = \frac{I_{k1} a_1(x)}{r_x V_T} = f_{NL}(x) \quad (5-14)$$



مدولاتورهای دامن

### ۱-۲-۶ مدولاسیون دامنه نرمال

اگر در سیگنال مدوله شده،  $g(t)$  دارای مقدار متوسط صفر نبوده و به فرم زیر باشد، مدولاسیون از نوع مدولاسیون دامنه نرمال (AM-Normal) نامیده می شود:

$$g(t) = A[1 + mf(t)]$$

(۱-۶)

### ۲-۲-۶ مدولاسیون DSB

چنانچه  $g(t)$  در سیگنال مدوله شده AM به صورت ضربی از سیگنال اطلاعات باشد، مدولاسیون انجام شده از نوع DSB (Double Side Band) به صورت زیر خواهد بود.

$$v(t) = g(t) \cos \omega_c t = k f(t) \cos \omega_c t \quad (2-6)$$

$$V_i(t) = g(t) \cdot s(t) + \frac{r_{ds_o}}{r_{ds_o} + R_1} [1 - s(t)] \cdot g(t)$$

$$= g(t) \left[ 1 - \frac{r_{ds_o}}{r_{ds_o} + R_1} \right] s(t) + \frac{r_{ds_o}}{r_{ds_o} + R_1} g(t)$$

$$= \frac{R_1}{r_{ds_o} + R_1} g(t) s(t) + \frac{r_{ds_o}}{r_{ds_o} + R_1} g(t)$$

$$= \frac{R_1}{r_{ds_o} + R_1} g(t) \left( \frac{1}{2} + \frac{\gamma}{\pi} \cos \omega_o t - \frac{\gamma}{2\pi} \cos 3\omega_o t + \dots \right) + \frac{r_{ds_o}}{r_{ds_o} + R_1} g(t) \quad (28-6)$$

در نهایت خواهیم داشت:

$$i_E = \frac{V_i - V_T + V_{EE}}{R_E} \Rightarrow v_o = V_{CC} - R \cdot i_C \Big|_{\omega = \omega_o} \quad (29-6)$$

به این ترتیب طیف جریان خروجی سرشار از هارمونیک بوده و چنانچه فیلتر RLC به کار رفته دارای پهنای باند کافی بوده و در فرکانس  $\omega_o$  تنظیم شده باشد، می توان ولتاژ خروجی را متناسب با  $g(t) \cos \omega_o t$  در نظر گرفت.





# آشکار سازی های دامنه

$$V_o(t) = \alpha \cdot \overline{i_D} \cdot R_o = \frac{\alpha R_o}{\pi R} V \quad (۷-۱۳)$$

پس خروجی مدار با استفاده از دیود ایده آل و فیلتر با پهنای باند کافی، به صورت مضربی از دامنه ولتاژ ورودی، که پوش سیگنال ورودی محسوب می شود، محاسبه می گردد. حال با فرض اینکه سیگنال ورودی  $V_i(t) = g(t)\cos\omega_o t$  بوده و در آن  $g(t)$  دارای تغییرات زمانی کند باشد، از همان تحلیل انجام شده استفاده نموده و خروجی به صورت زیر محاسبه می گردد:

$$V_i(t) = g(t)\cos\omega_o t \Rightarrow V_o(t) = \alpha \cdot \overline{i_D} \cdot R_o = \frac{\alpha R_o}{\pi R} g(t) \quad (۷-۱۴)$$

بار دیگر با فرض دامنه‌ی ثابت ورودی و بسط جریان دیود خواهیم داشت:

$$i_D(t) = \frac{V_i(t) - V_o}{R} \cdot s(t) = \frac{V \cos \omega_o t - V_o}{R} \left( \frac{1}{2} + \frac{2}{\pi} \cos \omega_o t - \frac{2}{3\pi} \cos 3\omega_o t + \dots \right)$$

$$\left( \frac{V}{2R} \cos \omega_o t - \frac{V_o}{2R} \right) + \left( \frac{2V}{\pi R} \cos^2 \omega_o t - \frac{2V_o}{\pi R} \cos \omega_o t \right) + \left( -\frac{2V}{3\pi R} \cos \omega_o t \cdot \cos 3\omega_o t + \frac{2V_o}{3\pi R} \cos 3\omega_o t \right) + \dots$$

$$\Rightarrow \overline{i_D(t)} = -\frac{V_o}{2R} + \frac{V}{\pi R} \quad (16-7)$$

$$\Rightarrow V_o(t) = \alpha \overline{i_D} R_o = \frac{\alpha V R_o}{\pi R} - \frac{\alpha V_o R_o}{2R}$$

با جایگزین کردن دامنه سیگنال ورودی با سیگنال کند  $g(t)$ ، خروجی آشکارساز در این حالت عبارت است از:

$$V_i(t) = g(t) \cos \omega_o t \Rightarrow V_o(t) = \alpha \overline{i_D} R_o = \frac{\alpha R_o}{\pi R} g(t) - \frac{\alpha V_o R_o}{2R} \quad (17-7)$$

در این مدار با نوشتن یک رابطه KCL در سمت ورودی خواهیم داشت:

$$g(t)\cos\omega_0 t = \left[ b(t)\cos\omega_0 t - \sqrt{2}I_{D_0}(t)\cos\omega_0 t \right] * Z(t)$$

$$= \left[ \left( \frac{b(t)}{\sqrt{2}} - I_{D_0}(t) \right) * \sqrt{2}Z'_L(t) \right] \cos\omega_0 t$$

(۷-۲۵)

$$V_o(t) = g(t) = \frac{b(t)}{2} \cdot 2R_T, \quad R_T = R \parallel \frac{R_o}{2} \quad (26-7)$$

- به منظور عملکرد صحیح مدار، شرایط زیر در طراحی آشکارساز می‌بایستی مدنظر قرار گیرد:
- ۱- ضریب کیفیت فیلتر RLC ورودی به همراه بار آن حتی الامکان بزرگ باشد.
  - ۲- مقدار ریپل در مدار باید کم باشد:

$$\frac{\Delta V_{DC}}{V_{DC}} = \frac{T}{R_o C_o} \ll 1, \quad T = \frac{2\pi}{\omega_o} \quad (27-7)$$

- ۳- برای انتقال بدون اعوجاج سیگنال اطلاعات (پوش سیگنال ورودی) پهنای باند کافی لازم است. چنانچه بالاترین مؤلفه فرکانسی  $b(t)$  در شکل (۷-۳۱)  $\omega_m$  فرض شود، این شرط را می‌توان در قالب نامساوی زیر بیان نمود:

$$\frac{1}{(C + C_o)(2R_T)} \geq \omega_m \quad (28-7)$$

- ۴- برای جلوگیری از خطای FTF باید شرط زیر برقرار باشد.

$$R_o C_o < 2RC$$





# مدولاتوری FM

$$\theta(t) = \omega_c t + \Delta\omega \int_0^t f(\theta) d\theta \Rightarrow \omega_i(t) = \frac{d\theta(t)}{dt} = \omega_c + \Delta\omega f(t) \quad (1-8)$$

دیده می شود که فرکانس لحظه ای با سیگنال اطلاعات متناسب است. اصولاً چون سیگنال اطلاعات مطابق رابطه ی (۸-۲) در آرگومان سیگنال حامل منظور شده است، سیگنال FM نسبت به AM در مقابل نویز مقاوم تر بوده و به همین دلیل کیفیت سیگنال FM معمولاً از AM بهتر است. این در حالی است که سیگنال FM به پهنای باند بیشتری نیاز دارد.

$$V_i(t) = A \cos \left( \omega_c t + \Delta\omega \int_0^t f(\theta) d\theta \right) \quad (2-8)$$

$$f(t) = \cos \omega_m t \Rightarrow V_i(t) = A \cos \left( \omega_o t + \frac{\Delta \omega}{\omega_m} \sin \omega_m t \right) \quad (3-8)$$

در رابطه اخیر  $\frac{\Delta \omega}{\omega_m}$  را اندیس مدولاسیون نامیده و با  $\beta$  نمایش می دهند. همچنین می توان کمیت دیگری به نام نسبت انحراف فرکانسی را تعریف نمود که به نوعی حدود تغییرات فرکانس لحظه ای نسبت به فرکانس حامل را توصیف می کند. بنابراین می توان آن را به صورت زیر نمایش داد.

$$D = \frac{\Delta \omega}{\omega_o} \quad (4-8)$$

حال با توجه به فرضیات فوق طیف سیگنال مدوله شده را محاسبه می کنیم:

$$\begin{aligned} V_i(t) &= A \cos(\omega_o t + \beta \sin \omega_m t) \\ &= A \cos \omega_o t \cdot \cos(\beta \sin \omega_m t) - A \sin \omega_o t \cdot \sin(\beta \sin \omega_m t) \\ &= A g_c(t) \cos \omega_o t - A g_s(t) \sin \omega_o t \end{aligned} \quad (5-8)$$



$$B.W. = \gamma(\beta + 1)\omega_m$$

$$\beta \gg 1 \Rightarrow B.W._{(WBFM)} = \gamma \Delta \omega$$

$$\beta \ll 1 \Rightarrow B.W._{(NBFM)} = \gamma \omega_m$$

$$V(t) = A \cos \left( \omega_0 t + \Delta \omega \int_0^t f(\theta) d\theta \right) = A \cos(\theta_i(t)), \quad \omega_i(t) = \frac{d\theta_i(t)}{dt} \quad (9-8)$$

$$\Rightarrow \dot{V}(t) = \frac{dV(t)}{V(t)} = -A \omega_i(t) \sin \left( \int_0^t \omega_i(\theta) d\theta \right)$$

می توان  $\dot{V}(t)$  را بر حسب  $V(t)$  به صورت زیر توصیف کرد:

$$\int_0^t \omega_i(\theta) V(\theta) d\theta = \int_0^t \omega_i(\theta) \cdot A \cos \left( \int_0^t \omega_i(\theta) d\theta \right) d\theta = A \sin \left( \int_0^t \omega_i(\theta) d\theta \right) = -\frac{\dot{V}(t)}{\omega_i(t)}$$

$$\Rightarrow \dot{V}(t) = -\omega_i(t) \int_0^t \omega_i(\theta) V(\theta) d\theta \quad (10-8)$$

$$\Rightarrow \dot{V}(t) + \omega_i(t) \int_0^t \omega_i(\theta) V(\theta) d\theta = 0$$

$$v(t) - \frac{\dot{v}\dot{\omega}_i}{\omega_i^2} + \frac{\ddot{v}}{\omega_i^2} = 0$$

(۸-۱۱)

چنانچه  $\omega_o \gg \omega_m \approx \omega_o \gg \Delta\omega$  باشند، با توجه به مقدار کم  $\frac{\dot{v}\dot{\omega}_i}{\omega_i^2}$  می توان این ترم را به معادله بالا اضافه یا کم کرد و البته این کار سبب تغییرات ناچیزی در جواب مسأله شده که قابل اغماض است. معادلات دیفرانسیل جدید سیگنال FM در این حالت عبارتند از:

$$v(t) - \frac{\dot{v}\dot{\omega}_i}{\omega_i^2} + \frac{\ddot{v}}{\omega_i^2} = 0$$

(۸-۱۲)

$$v(t) + \frac{\ddot{v}}{\omega_i^2} = 0$$

$$\omega_o = \frac{1}{\sqrt{L(C+C_o)(1+B)}}$$

(۲۲-۸)

$$\frac{\Delta\omega}{\omega_o} = \frac{-B \left( \frac{I_{K_1}}{I_{K_o}} \right)}{1+B}$$

که در آن داریم:

$$B = \frac{C r I_{K_o}}{r V_T (C+C_o)}$$

(۲۳-۸)